

① Systembeskrivning:  $\frac{d^2 y(t)}{dt^2} + 2 \frac{dy(t)}{dt} + y(t) = \frac{dx(t)}{dt} + x(t)$  (\*)

$$y(t) = y_{zi}(t) + y_{zs}(t)$$

$H(s)$  &  $y_{zs}(t)$ :  $\mathcal{L}_{II}\{(*)\} \xrightarrow{\text{Formels. Tab. 4:10}} (s^2 + 2s + 1)Y_{zs}(s) = (s+1)X(s)$  ( $\mathcal{L}_{II} \Rightarrow y(t) = y_{zs}(t)$ )

LTI-system  $\Rightarrow$   $H(s) = \frac{Y_{zs}(s)}{X(s)} = \frac{s+1}{s^2+2s+1} = \frac{s+1}{(s+1)^2} = \frac{1}{s+1}$

Kausalt system, enligt uppgift, och pol i  $s=-1 \Rightarrow$  Konv. omr.  $\text{Re}\{s\} > -1$

$$Y_{zs}(s) = X(s)H(s) = \left( x(t) = 3u(t) \xrightarrow{\text{Tab. 5.3}} X(s) = \frac{3}{s}, \text{Re}\{s\} > 0 \right) = \frac{3}{s} \cdot \frac{1}{s+1}$$

$$= \text{PBU} = 3 \left( \frac{1}{s} - \frac{1}{s+1} \right), \text{Re}\{s\} > 0 \text{ resp. } \text{Re}\{s\} > -1$$

Formels. Tab. 5:3 & 5:11  $\Rightarrow$   $y_{zs}(t) = 3(u(t) - e^{-t}u(t))$

$y_{zi}(t)$ :  $\frac{d^2 y_{zi}(t)}{dt^2} + 2 \frac{dy_{zi}(t)}{dt} + y_{zi}(t) = 0$  (•)

$\mathcal{L}_{I}\{(\bullet)\}$  för  $t \geq 0 \xrightarrow{\text{Tab. 4:10}}$

$$s^2 Y_{zi}(s) - \underbrace{s \cdot y_{zi}(0^-)}_{=-1} - \underbrace{\frac{dy_{zi}(0^-)}{dt}}_{=0} + 2(s \cdot Y_{zi}(s) - \underbrace{y_{zi}(0^-)}_{=-1}) + Y_{zi}(s) = 0$$

$$\Rightarrow (s^2 + 2s + 1)Y_{zi}(s) = -s - 2 \Rightarrow$$

$$Y_{zi}(s) = -\frac{s+2}{s^2+2s+1} = -\frac{s+1+1}{(s+1)^2} = -\frac{1}{s+1} - \frac{1}{(s+1)^2}$$

$\text{Re}\{s\} > -1$  enl. ovan, samma som för  $H(s)$

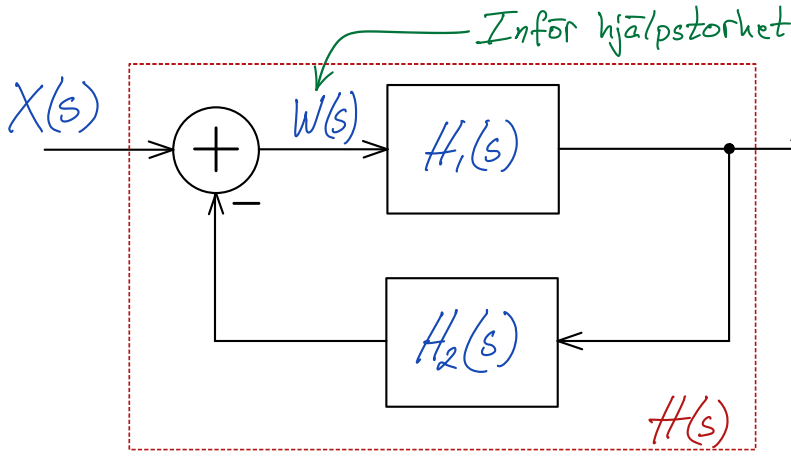
Tab. 15:11 & 15:12  $\Rightarrow$   $y_{zi}(t) = -e^{-t}u(t) - t \cdot e^{-t}u(t)$

$$\Rightarrow \underline{y(t) = y_{zi}(t) + y_{zs}(t) = (3 - (4+t)e^{-t})u(t)}$$

(Alternativt kan man utgå från  $\mathcal{L}_{I}\{(*)\}$  och erhålla  $y(t)$  direkt, utan att dela upp beräkningen i  $y_{zs}(t)$  och  $y_{zi}(t)$ .  $H(s)$  kan då erhållas från uttrycket för  $Y(s)$ , genom att identifiera  $Y_{zs}(s) = X(s) \cdot H(s)$ )

2

a)



$$Y(s) = W(s) \cdot H_1(s)$$

dar

$$W(s) = X(s) - Y(s) \cdot H_2(s)$$

(Betrakta energifria system)  
 $\Rightarrow Y(s) = Y_{zs}(s)$

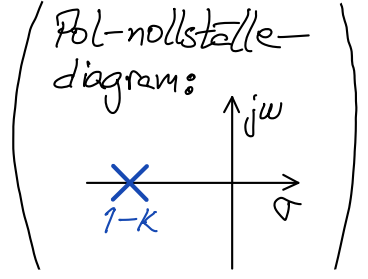
$$\Rightarrow Y(s)(1 + H_1(s)H_2(s)) = X(s) \cdot H_1(s) \Rightarrow \text{Det totala återkopplade systemets systemfunktion är } H(s) = \frac{Y_{zs}(s)}{X(s)} = \frac{H_1(s)}{1 + H_1(s)H_2(s)}$$

dar  $H_1(s) = \frac{1}{s-1}$ , med  $\text{Re}\{s\} > 1$ , ty instabilt system enligt uppgift (jw-axeln ligger inte i konv.området), dvs. system  $H_1$  är kausalt.

$$H_2(s) = \mathcal{L}\{h_2(t)\} = \mathcal{L}_I\{K \cdot \delta(t)\} \stackrel{\text{Tab. 5:1}}{=} K$$

$\left( \begin{array}{l} h_2(t < 0) = 0 \\ \Rightarrow \text{även system } H_2 \\ \text{är kausalt.} \end{array} \right)$

$$\Rightarrow \underline{H(s)} = \frac{\frac{1}{s-1}}{1 + \frac{1}{s-1} \cdot K} = \underline{\frac{1}{s - (1-K)}}$$



Båda delsystemen är kausala  $\Rightarrow$  det totala återkopplade systemet är kausalt

$\Rightarrow$  Konvergensområdet för  $H(s)$  är  $\text{Re}\{s\} > 1-K$

Systemet är stabilt om jw-axeln ligger i konvergensområdet, dvs. om  $1-K < 0 \Rightarrow \underline{K > 1}$

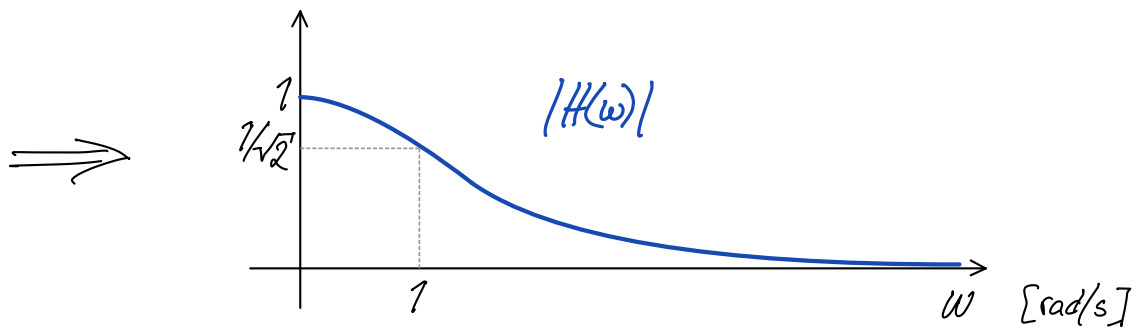
b) För stabila LTI-system gäller  $\underline{H(\omega) = H(s)|_{s=j\omega} = \frac{1}{K-1+j\omega}}$   
 där, enligt a),  $K > 1$ .

Den efterfrågade 3dB-gränsvinkelfrekvensen erhålls enklast  
 då  $K=2 \Rightarrow \underline{H(\omega) = \frac{1}{1+j\omega}} \Rightarrow \underline{|H(\omega)| = \frac{1}{\sqrt{1+\omega^2}}}$  (\*)

• Det är uppenbart (även utgående från pol-nollställediagrammet för  $H(s)$ )  
 att  $|H(\omega)|_{\max}$  erhålls vid  $\omega=0$  rad/s, dvs.  $\underline{|H(\omega)|_{\max} = |H(0)| = 1}$  (\*)

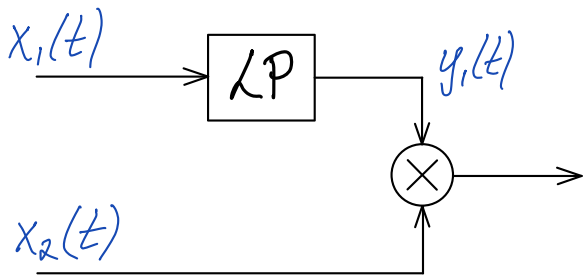
•  $\underline{|H(\omega_{3dB})| = \frac{|H(\omega)_{\max}}{\sqrt{2}} = \frac{1}{\sqrt{2}}}$   $\Rightarrow \underline{\omega_{3dB} = 1}$  rad/s

• (\*)  $\Rightarrow \underline{\lim_{\omega \rightarrow \infty} |H(\omega)| = 0}$  (Ges även av att antal poler hos  $H(s)$   
 (1st) är större än antal nollställen (0st).)



(Det principiella utseendet för  $|H(\omega)|$  erhålls även  
 direkt från pol-nollställediagrammet för  $H(s)$  i a)

3



$$y(t) = x_2(t) \cdot y_1(t)$$

$$\Rightarrow \underline{Y(\omega) = \frac{1}{2\pi} (X_2 * Y_1)(\omega)}$$

$|Y(\omega)|$  efterfrågas

Det ideala LP-filtret släpper bara igenom frekvenskomponenter med vinkelfrekvens  $\omega < \omega_0 = 80\pi$  rad/s.

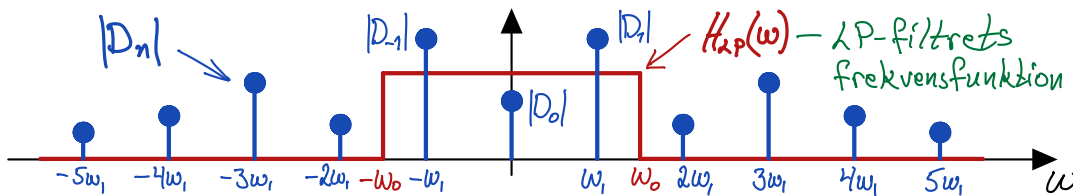
Grundvinkelfrekvensen brukar betecknas  $\omega_0$ , men här är  $\omega_0$  LP-filtrets gränsvinkelfrekvens.

$x_1(t)$  är periodisk med periodtiden  $T_0 = \frac{2}{50}$  sek.

$\Rightarrow$  signalens grundvinkelfrekvens är  $\omega_1 = \frac{2\pi}{T_0} = 50\pi$  rad/s.

Det innebär att det bara är medelvärdet och grundtonen hos  $x_1(t)$

som släpps igenom, dvs.  $y_1(t) = C_0 + C_1 \cos(\omega_1 t + \theta_1)$ :



$D_n$  = de komplexa fourierseriekoefficienterna till insignalen  $x_1(t)$ .

•  $C_0$  = medelvärdet  $\overset{\text{Från figuren}}{=} \frac{8}{2} = 4$  (Allmänt:  $C_0 = D_0 = \frac{1}{T_0} \int x_1(t) dt$ )

•  $C_1 = 2|D_1|$  och  $\theta_1 = \arg D_1$ , där

$$D_1 = \frac{1}{T_0} \int x_1(t) e^{-j\omega_1 t} dt = \frac{50}{2} \int_0^{1/50} 8 \cdot e^{-j50\pi t} dt = 200 \left[ \frac{e^{-j50\pi t}}{-j50\pi} \right]_0^{1/50}$$

$$= \frac{4}{-j\pi} (e^{-j\pi} - e^0) = \frac{8}{j\pi} = \frac{8}{\pi} \cdot e^{-j\frac{\pi}{2}} \Rightarrow \begin{cases} |D_1| = \frac{8}{\pi} \\ \arg D_1 = -\frac{\pi}{2} \text{ rad/s} \end{cases}$$

$$\Rightarrow \underline{y_1(t) = 4 + 2 \cdot \frac{8}{\pi} \cos(50\pi t - \frac{\pi}{2}) = 4 + \frac{16}{\pi} \sin(50\pi t)}$$

$$y(t) = x_2(t) \cdot y_1(t) = x_2(t) \cdot 4 + \frac{16}{\pi} \cdot x_2(t) \cdot \underbrace{\sin(50\pi t)}_{:= c(t)} \text{ (amplitudmodulering)}$$

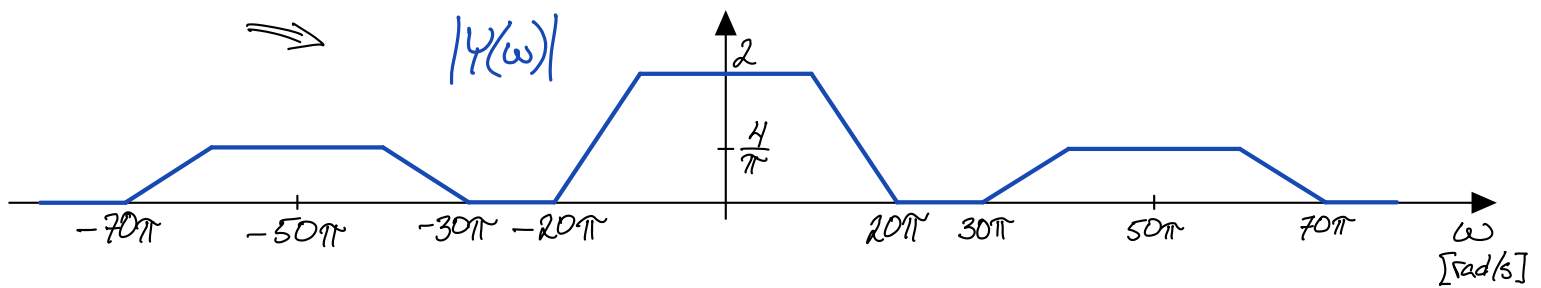


$$\Rightarrow \underline{Y(\omega) = 4X_2(\omega) + \underbrace{\frac{16}{\pi} \cdot \frac{1}{2\pi}}_{=\frac{8}{\pi^2}} (X_2 * C)(\omega)}$$

$$\text{där } C(\omega) = \mathcal{F}\{\sin(50t)\} = \left/ \begin{array}{l} \text{Formels.} \\ \text{Tab. 3:22} \end{array} \right/ = j\pi(\delta(\omega+50) - \delta(\omega-50))$$

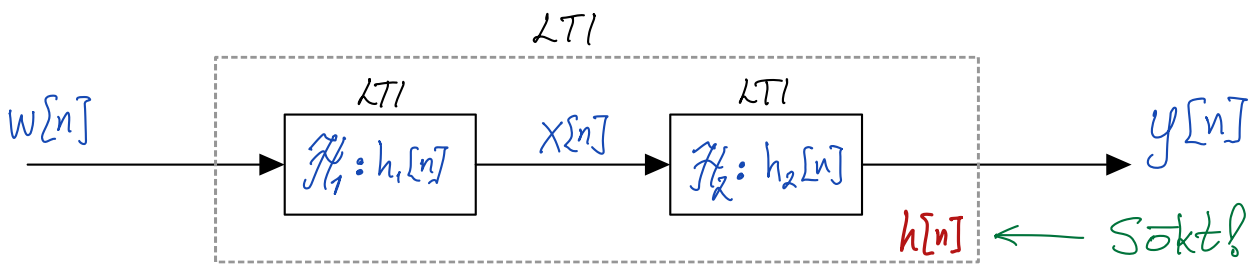
$$\begin{aligned} \Rightarrow (X_2 * C)(\omega) &= j\pi(X_2(\omega) * \delta(\omega+50\pi) - X_2(\omega) * \delta(\omega-50\pi)) \\ &= j\pi(X_2(\omega+50\pi) - X_2(\omega-50\pi)) \end{aligned}$$

$$\Rightarrow \underline{Y(\omega) = 4X_2(\omega) + \frac{j8}{\pi} (X_2(\omega+50\pi) - X_2(\omega-50\pi))}$$



4

a)



Utgå från energifria (LTI-)system  $\Rightarrow$

$$y[n] = (x * h_2)[n] = ((w * h_1) * h_2)[n] = (w * (h_1 * h_2))[n] = (w * h)[n]$$

$$\Rightarrow \underline{h[n] = (h_1 * h_2)[n]}$$

- System  $\mathcal{H}_1$ :  $H_1[z] = \frac{1}{e^{j\omega} - 0,5} = \frac{e^{j\omega}}{e^{j\omega} - 0,5} \cdot e^{-j\omega}$   
Formels. Tab. 7:6 & Tab. 8:5  $\Rightarrow \underline{h_1[n] = 0,5^{n-1} \cdot u[n-1]}$

- System  $\mathcal{H}_2$ :  $\mathcal{Z}_{II}\{y[n] - 0,8y[n-1]\} = \mathcal{Z}_{II}\{x[n-1]\}$   
Formels. Tab. 9:5  $\Rightarrow (1 - 0,8z^{-1})Y[z] = z^{-1}X[z]$

$$\Rightarrow \underline{H_2[z] = \frac{Y_{zs}[z]}{X[z]} = \left/ \begin{array}{l} \text{Energifritt} \\ \Rightarrow Y[z] = Y_{zs}[z] \end{array} \right/ = \frac{z^{-1}}{1 - 0,8z^{-1}} = \frac{1}{z - 0,8}}$$

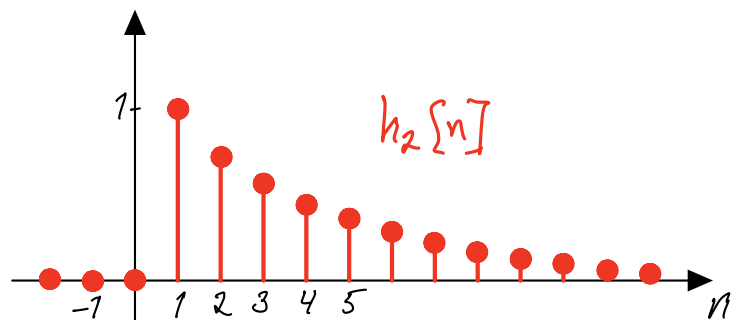
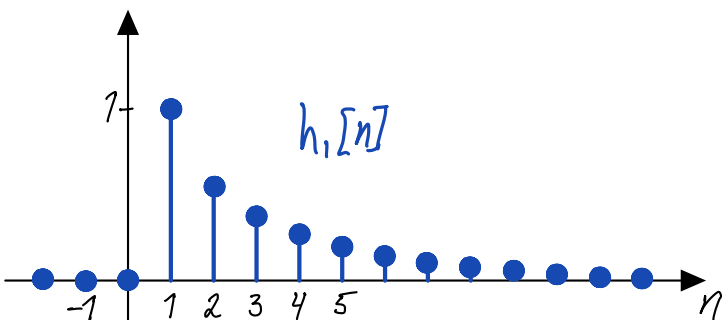
Här behöver vi anta att konvergensområdet är  $|z| > 0,8$ , vilket ger ett kausalt & stabilt system. Om  $|z| < 0,8$  erhålls ett icke-kausalt & instabilt system, vilket inte har en praktisk relevans.

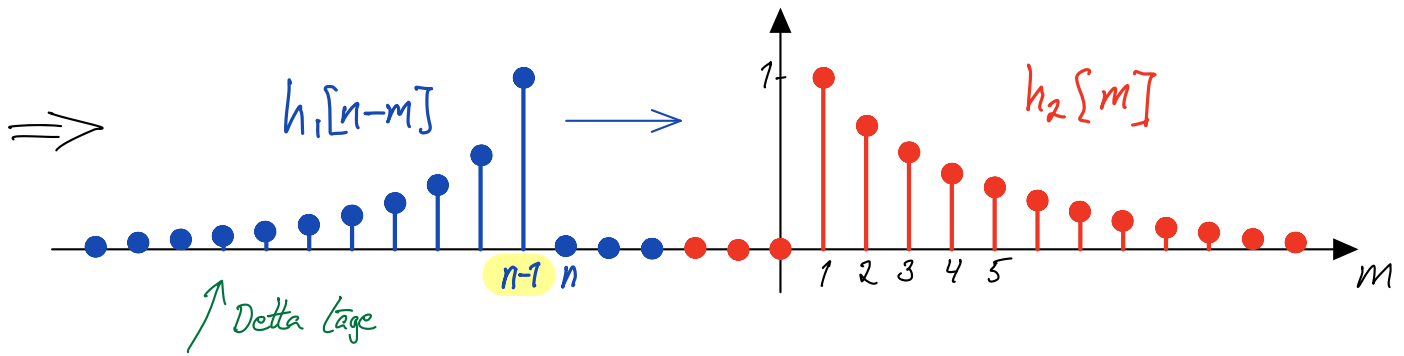
Tab. 10:5 ger då  $\underline{h_2[n] = 0,8^{n-1} \cdot u[n-1]}$

Anm: Poäng för ovanstående ges i både a) och b)!

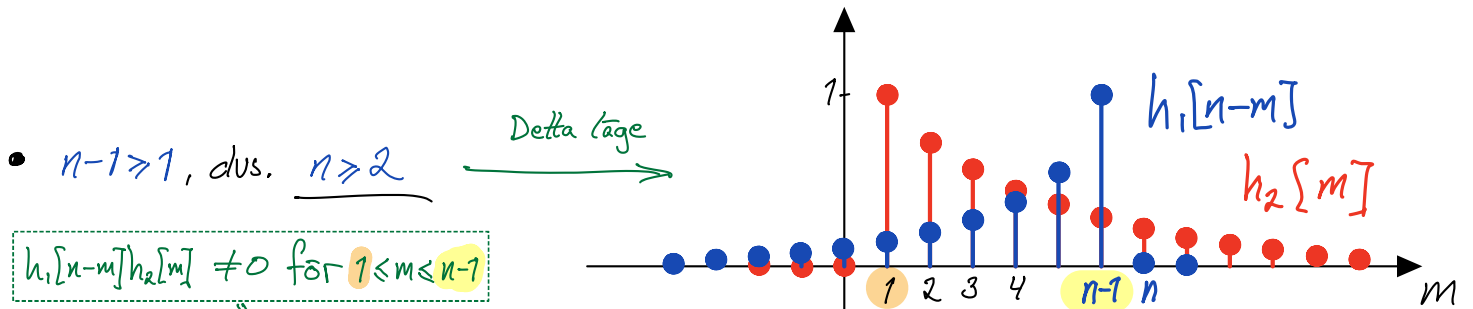
Utsignalsberäkning i tidsdomänen  $\Leftrightarrow$  Faltning:

$$h[n] = (h_1 * h_2)[n] = \underline{\sum_{m=-\infty}^{\infty} h_1[n-m]h_2[m]}$$





•  $n-1 < 1$  dvs.  $n < 2 \Rightarrow h_1[n-m]h_2[m] = 0 \Rightarrow \underline{h[n] = 0}$



⇒  $\underline{h[n]} = \sum_{m=1}^{n-1} 0,5^{n-m-1} \cdot 0,8^{m-1} = \frac{5}{2} 0,5^n \sum_{m=1}^{n-1} \left(\frac{8}{5}\right)^m$

$= \frac{5}{2} 0,5^n \cdot \left(\frac{8}{5}\right)^1 \cdot \frac{1 - \left(\frac{8}{5}\right)^{n-1}}{1 - \frac{8}{5}} = \underline{\underline{\frac{20}{3} 0,5^n \left(\left(\frac{8}{5}\right)^{n-1} - 1\right)}}$

Dvs.  $\underline{\underline{h[n] = \frac{20}{3} 0,5^n \left(\left(\frac{8}{5}\right)^{n-1} - 1\right) u[n-2] = \left(\frac{25}{6} 0,8^n - \frac{20}{3} 0,5^n\right) u[n-2]}}$

b) Från a):  $h[n] = (h_1 * h_2)[n] \iff \underline{H[z] = H_1[z] \cdot H_2[z]}$ , där

•  $H_1[z] = \mathcal{Z}\{h_1[n]\} = \mathcal{Z}\{0,5^{n-1} u[n-1]\} \stackrel{\text{Tab. 10:5}}{=} \frac{1}{z-0,5}, |z| > 0,5$

•  $H_2[z] = \frac{1}{z-0,8}, |z| > 0,8$ , beräknas i a)

⇒  $H[z] = \frac{1}{z-0,5} \cdot \frac{1}{z-0,8} = \text{/P.B.U./} = \frac{-10}{3} \cdot \frac{1}{z-0,5} + \frac{10}{3} \cdot \frac{1}{z-0,8}$   
 $|z| > 0,5 \qquad |z| > 0,8$

Formels. Tab. 10:5 ⇒

$\underline{\underline{h[n] = -\frac{10}{3} 0,5^{n-1} u[n-1] + \frac{10}{3} 0,8^{n-1} u[n-1] = \left(\frac{25}{6} 0,8^n - \frac{20}{3} 0,5^n\right) u[n-1]}}$

"(----) · u[n-2] vid faktningen i a). Dock samma svar då  $h[1] = \left(\frac{25}{6} \cdot 0,8 - \frac{20}{3} \cdot 0,5\right) \cdot u[0] = 0$

5

$$a) H[z] = \frac{z^2 - 2}{(z-A)(z^2 + z + 3/4)} = \frac{(z-\sqrt{2})(z+\sqrt{2})}{(z-A)((z+1/2)^2 + (1/\sqrt{2})^2)}$$

⇒ Två nollställen i  $z = \pm\sqrt{2}$  och tre poler i  $z=A$  och  $z = -\frac{1}{2} \pm j\frac{1}{\sqrt{2}}$ .  
 Kausalt LTI-system ⇒ Konvergensområdet för  $H[z]$  är  $|z| > R_0$ ,  
 där  $R_0$  är avståndet från origo till den yttersta polen i  $z$ -planet.  
 Stabilt LTI-system om enhetscirkeln ligger i konvergensområdet ⇒  $R_0 < 1$ ,  
 dvs. alla polerna ligger innanför enhetscirkeln.

- $|\frac{1}{2} \pm j\frac{1}{\sqrt{2}}| = \frac{\sqrt{3}}{2} < 1 \Rightarrow$  Det komplexkonjugerade polparet är innanför  $|z|=1$ .
- Enkelpolen i  $z=A$  är innanför  $|z|=1$  om  $|A| < 1 \Leftrightarrow$  Stabilt system.
- Även stabilt system om  $A = \pm\sqrt{2}$ , för då kancelleras polen av ett nollställe.

b)  $x[n] = \cos(\pi n + 0,2)$ .  $A = \sqrt{2}$  ⇒ Stabilt system enligt a) ovan

$$\Rightarrow y[n] = |H[\pi]| \cdot \cos(\pi n + 0,2 + \arg H[\pi]), \text{ där}$$

$$H[z=\pi] = H[z=-1] = \frac{z+\sqrt{2}}{z^2+z+3/4} \Big|_{z=-1} = \frac{4(\sqrt{2}-1)}{3} \approx 0,55 = \underbrace{0,55}_{|H[\pi]|} \cdot \underbrace{0}_{\arg H[\pi]}$$

$$\Rightarrow \underline{y[n] \approx 0,55 \cdot \cos(\pi n + 0,2)}$$

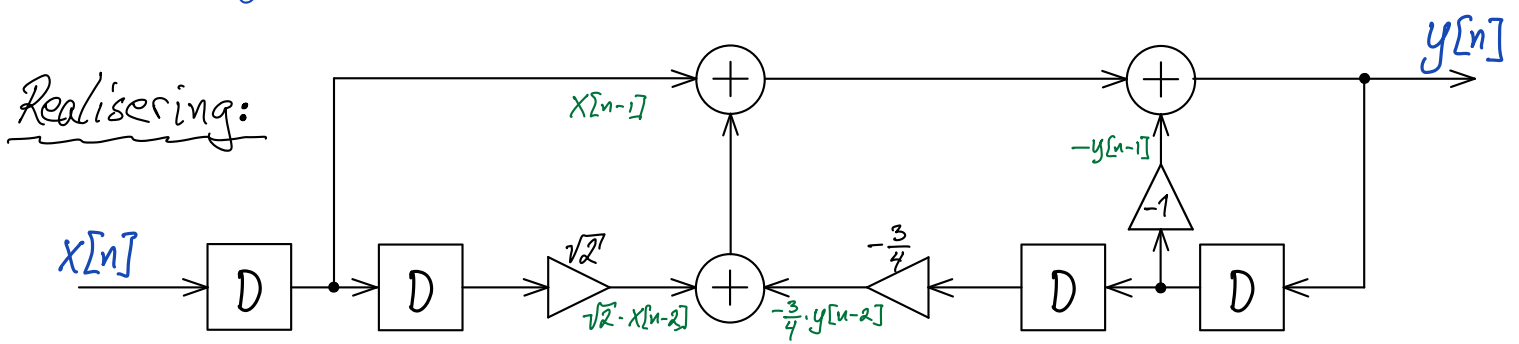
Energifritt system  
 betraktas ⇒  $Y[z] = Y_{2s}[z]$

c)  $A = \sqrt{2} \Rightarrow H[z] = \frac{z+\sqrt{2}}{z^2+z+3/4} = \frac{z^{-1} + \sqrt{2}z^{-2}}{1 + z^{-1} + \frac{3}{4}z^{-2}} = \frac{Y[z]}{X[z]}$

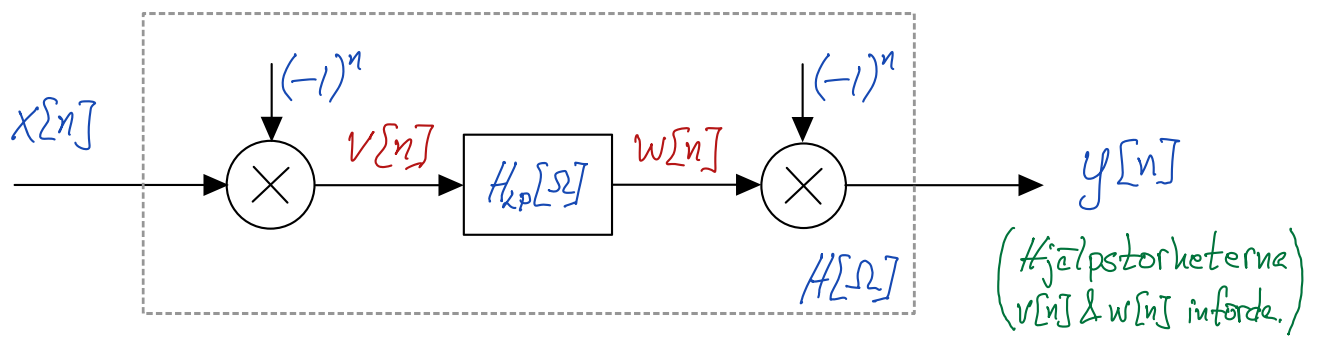
$$\Rightarrow Y[z] + z^{-1}Y[z] + \frac{3}{4}z^{-2}Y[z] = z^{-1}X[z] + \sqrt{2}z^{-2}X[z]$$

Formels. Tab. 9:4 ⇒  $y[n] + y[n-1] + \frac{3}{4}y[n-2] = x[n-1] + \sqrt{2}x[n-2]$

$$\Rightarrow \underline{y[n] = x[n-1] + \sqrt{2}x[n-2] - y[n-1] - \frac{3}{4}y[n-2]}$$



6



a)

$$y[n] = (-1)^n w[n] \xrightarrow{\text{Formels. Tab. 7:7}} Y[\Omega] = W[\Omega - \pi]$$

LTI-system

$\text{där } W[\Omega] = W_{zs}[\Omega] \stackrel{\downarrow}{=} V[\Omega] \cdot H_{zp}[\Omega], \text{ där (Tab. 7:7) } V[\Omega] = X[\Omega - \pi]$   
 (Betrakta energifritt system)

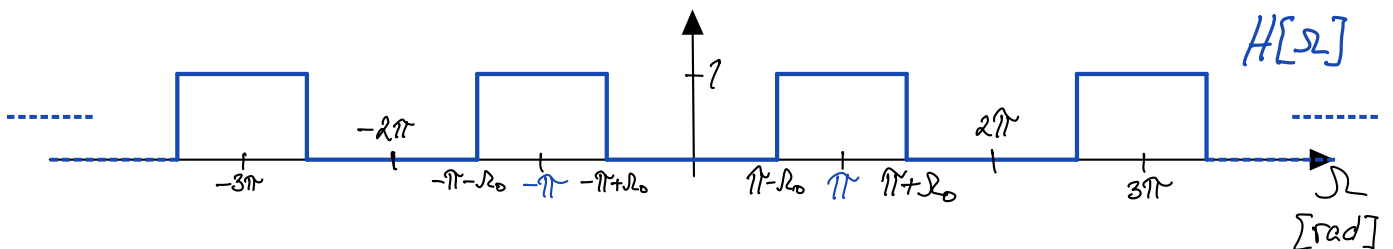
$$\Rightarrow \underline{Y[\Omega] = V[\Omega - \pi] \cdot H_{zp}[\Omega - \pi] = X[\underbrace{(\Omega - \pi) - \pi}_{= \Omega - 2\pi}] \cdot H_{zp}[\Omega - \pi]}$$

$$= \text{ / } X[\Omega] \text{ är } 2\pi\text{-periodisk} \text{ /} = \underline{X[\Omega] \cdot H_{zp}[\Omega - \pi]} \quad \textcircled{1}$$

Det totala systemet är ett (energifritt) LTI-system

$$\Rightarrow \underline{Y[\Omega] = Y_{zs}[\Omega] = X[\Omega] \cdot H[\Omega]} \quad \textcircled{2}$$

$$\textcircled{1} \ \& \ \textcircled{2} \Rightarrow \underline{H[\Omega] = H_{zp}[\Omega - \pi]}$$



b) Filtret dämpar helt frekvenssignaler med normerad vinkelfrekvens  $\Omega < \pi - \Omega_0$ , dvs. lågfrekventa signaler, och släpper igenom frekvenssignaler med normerad vinkelfrekvens  $\pi - \Omega_0 < \Omega < \pi$  rad, dvs. högfrekventa signaler. Det totala systemet utgör därför ett (idealt) högpassfilter.

(Det intressanta (fysikaliska) normerade vinkelfrekvensintervallet är  $0 \leq \Omega \leq \pi$  rad.)